

کالیبراسیون قطب نمای جریان سنج دریایی با استفاده از تعیین موقعیت کینماتیک نسبی

وحید رضاعلی^۱، علیرضا آزموده اردلان^۲، ناصر عبدی^۳

۱- دانشجوی کارشناسی ارشد هیدروگرافی، دانشکده مهندسی نقشه برداری و اطلاعات مکانی، دانشکده فنی، دانشگاه تهران

۲- استاد، گروه مهندسی نقشه برداری، دانشکده مهندسی نقشه برداری و اطلاعات مکانی، دانشکده فنی، دانشگاه تهران

۳- دانشجوی دکتری زئودزی، دانشکده مهندسی نقشه برداری و اطلاعات مکانی، دانشکده فنی، دانشگاه تهران

تاریخ دریافت مقاله: ۱۳۹۴/۱۲/۰۱ تاریخ پذیرش مقاله: ۱۳۹۵/۰۴/۰۱

چکیده

تعیین دقیق پارامترهای سرعت و جهت جریان‌های دریایی از مسائل مهمی است که در مطالعات دریایی مورد توجه قرار می‌گیرد که بدین منظور می‌بایست از جریان‌سنج‌های دقیق و کالیبره استفاده شود. پارامتر جهت یا همان هدینگ حاصل از جریان سنج‌های دریایی که بوسیله‌ی قطب نمای نصب شده بر روی آنها تعیین می‌شود، همانند پارامتر سرعت می‌بایست به طور صحیح مورد بررسی قرار گرفته و خطای آن محاسبه شود. در این مقاله از گیرنده‌های GNSS برای کالیبراسیون قطب نمای یک جریان‌سنج دریایی استفاده شده است. روش بکار گرفته شده بدین صورت است که جریان‌سنج به بویه‌ای که روی آن دو گیرنده‌ی GNSS نصب است، متصل شده و درون دریاچه‌ای در جهت‌های مشخص کشیده می‌شود. در این روش دو گیرنده GNSS نسب شده بر روی بویه نسب به یک ایستگاه مرجع از طریق مشاهدات فاز حامل تعیین موقیت شده و با تعریف یک سیستم مختصات تراز محلی و مبدأ فوار دادن ایستگاه مرجع، از دوران خط مبنای ایجاد شده بین دو گیرنده نسبت به این ایستگاه، زاویه هدینگ به طور دقیق محاسبه می‌شود. برای بررسی دقت زاویه هدینگ محاسبه شده، معیارهایی همچون هندسه‌ی ماهواره‌ها، حل ابهام فاز و خطای چندگانگی مسیر در موقعیت‌یابی کینماتیک مورد بررسی قرار گرفته است. زاویه هدینگ محاسباتی بویه با انحراف معیار $48/2760$ ثانیه تعیین و با هدینگ حاصل از جریان‌سنج "۲۶۱۴۶" تعیین و معادله کالیبراسیونی برای قطب نمای مغناطیسی جریان‌سنج دریایی ارائه شد.

کلیدواژه‌ها: زاویه هدینگ، GNSS، کینماتیک نسبی، جریان‌سنج دریایی، کالیبراسیون جریان‌سنج

*نویسنده مسئول: تهران، خیابان کارگر شمالی، دانشگاه تهران، دانشکده فنی، دانشکده مهندسی نقشه‌برداری و اطلاعات مکانی

تلفن: ۰۹۳۵۷۷۷۰۸۷۷

Email: geo1.vra@gmail.com

۱- مقدمه

استفاده شده است. روش مورد نظر بدین صورت است که جریان سنج به بویهای مجهز به دو گیرنده‌ی GNSS متصل شده و درون آب دریاچه‌ای در جهت‌های مشخص کشیده می‌شود و هدینگ حاصل از جریان سنج با هدینگ دقیق محاسبه شده از GNSS مقایسه می‌شود. در این روش دو گیرنده‌ی به عنوان مترک^۴ بر روی بویهی شناور بر روی آب، نسبت به گیرنده‌ای ثابت و مستقر در خارج از آب تعیین موقعیت می‌شوند و از دوران خط مبنای ایجاد شده بین دو گیرنده، نسبت به ایستگاه مرجع، جهت بررسی دقیق هدینگ استفاده می‌شود. روش ارائه شده در این مقاله به منظور بررسی عملکرد جریان سنج دریایی از نوع پروانه‌ای، روشی ابتکاری بوده و طبق تحقیقات صورت گرفته، تا حال برای بررسی میدانی عملکرد این جریان سنج مورد استفاده قرار نگرفته است. اما استفاده از روش تعیین پارامترهای دوران بوسیله‌ی آنتن‌های GNSS به نظر بررسی و کالیبراسیون قطب‌نماهای بکار گرفته شده در محیط‌های دریایی روشی شناخته شده می‌باشد. در [۱، ۲، ۳ و ۴] برای تعیین خطای هدینگ حاصل از قطب‌نمای ژیرسکوپی که تاثیر بسزایی در تعیین پارامترهای جریان‌های دریایی از طریق جریان سنج‌های صوتی دارد، از گیرنده‌های GNSS نصب شده بر روی شناور و تعیین پارامتر هدینگ بدین روش، استفاده شده است. در [۵] برای کالیبراسیون سنسور جهت‌یابی مغناطیسی از دو گیرنده GNSS ارزان قیمت و تعیین پارامتر هدینگ بوسیله‌ی آنها و مقایسه با هدینگ حاصل از سنسور مورد نظر استفاده شده است. در [۶] از طریق تعیین پارامترهای دوران با استفاده از تعیین موقعیت کینماتیک آنی گیرنده‌های GNSS برای کالیبراسیون یک قطب‌نما مغناطیسی استفاده شده است.

⁴ Rover

کسب اطلاعات صحیح از پارامترهای جریان‌های دریایی (سرعت و جهت جریان) مستلزم بکارگیری جریان سنج‌هایی دقیق و کالیبره می‌باشد. جریان سنج‌های دریایی انواع گوناگونی را شامل می‌شوند که با توجه اهداف و دقت‌های مورد نیاز در مطالعات و پژوهش‌های دریایی به کار گرفته می‌شوند. در این میان جریان سنج‌های پروانه‌ای^۱ و جریان سنج‌های صوتی (ADCP^۲) در داخل کشور متداول‌تر می‌باشند. جریان سنج پروانه‌ای با قرارگیری در خلاف جهت جریان در داخل آب، از طریق شمارش تعداد دور در ثانیه توسط چرخش پروانه‌ی خود میزان سرعت جریان آب و از طریق قطب‌نمای مغناطیسی نصب شده بر روی خود، جهت جریان را تعیین می‌کند. اما برای اطمینان از صحت عملکرد یک جریان سنج دریایی می‌بایست کالیبراسیون این دستگاه‌ها در آزمایشگاه‌های مربوطه صورت پذیرد. اما در آزمایشگاه‌های کالیبراسیون به طور معمول سنسور سرعت‌یابی جریان سنج‌ها مورد بررسی قرار می‌گیرد و به طور خاص سنسورهای جهت‌یابی جریان سنج‌ها مورد ارزیابی و آزمایش قرار نمی‌گیرند بدین منظور نیاز است روشنی مطمئن برای ارزیابی سنسور جهت‌یابی جریان سنج ارائه شود تا بتوان میزان خطای پارامتر هدینگ حاصل از جریان سنج را تعیین کرد.

برای بررسی عملکرد جهت‌یابی جریان سنج‌های دریایی می‌بایست هدینگ حاصل از جریان سنج را با هدینگ حاصل از سیستمی دیگر مقایسه کرد. در این مقاله برای بررسی خطای هدینگ حاصل از یک جریان سنج دریایی (نوع پروانه‌ای)، از گیرنده‌های GNSS^۳ و محاسبه‌ی هدینگ بوسیله‌ی آنها

¹ Impeller current meter² Acoustic Doppler Current Profiler³ Global Navigation Satellite System



شکل ۲ : گیرنده‌ی میان دو گیرنده، متصل شد (شکل ۱).
برای به آب اندازی بویه و پیاده‌سازی روش مورد نظر، دریاچه‌ی شهدای خلیج فارس تهران (چیتگر) انتخاب شد. در خارج از دریاچه محلی برای استقرار گیرنده‌ی GNSS دیگری جهت ایستگاه مرجع تعیین شد (شکل ۲). بویه بعد از نصب و جاسازی گیرنده‌های GNSS به درون آب انداخته و بوسیله‌ی طنابی از طریق قایقی بر روی آب دریاچه در جهت‌هایی مشخص، کشیده شد.



شکل ۳ : برداشت داده‌های میدانی

جریان سنج دریایی مورد استفاده در این تحقیق جریان سنجی از نوع پروانه‌ای مدل ۳۰۸ متعلق به شرکت وال پورت^۱ بوده که سنسور جهت‌یابی آن از نوع قطب نمای مغناطیسی^۲ با میزان دقت $\pm 0.25^{\circ}$ درجه، داده‌های هدینگ جریان را در هر ۵ ثانیه ثبت می‌کند. گیرنده‌های بکار گرفته شده در این عملیات، گیرنده‌های دو فرکانسه لایکا مدل ۱۲۰۰ بوده و با فاصله نمونه برداری یک ثانیه و زاویه قطع^۳ ۱۰ درجه، داده‌های موقعیت را در فاصله زمانی

۲- عملیات میدانی و برداشت داده‌ها

به منظور آزمایش روش مورد نظر بویه‌ای طراحی شد که بر روی آن دو آنتن GNSS به فاصله‌ی ۰/۶۸۸ متر نصب و جریان سنج به قسمت زیرین آن و موازی با خط مبنای میان دو گیرنده، متصل شد (شکل ۱). برای به آب اندازی بویه و پیاده‌سازی روش مورد نظر، دریاچه‌ی شهدای خلیج فارس تهران (چیتگر) انتخاب شد. در خارج از دریاچه محلی برای استقرار گیرنده‌ی GNSS دیگری جهت ایستگاه مرجع تعیین شد (شکل ۲). بویه بعد از نصب و جاسازی گیرنده‌های GNSS به درون آب انداخته و بوسیله‌ی طنابی از طریق قایقی بر روی آب دریاچه در جهت‌هایی مشخص، کشیده شد.



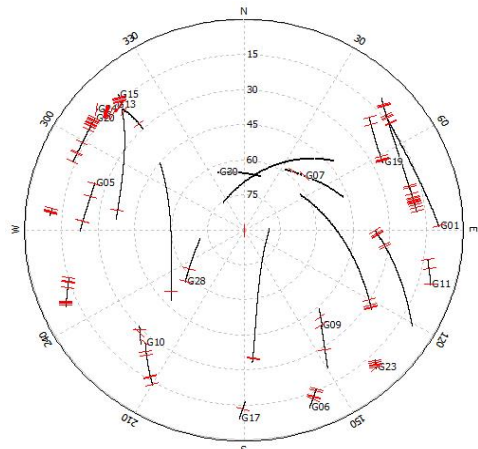
شکل ۱ : بویه به همراه گیرنده‌های GNSS و جریان سنج

¹ Valeport

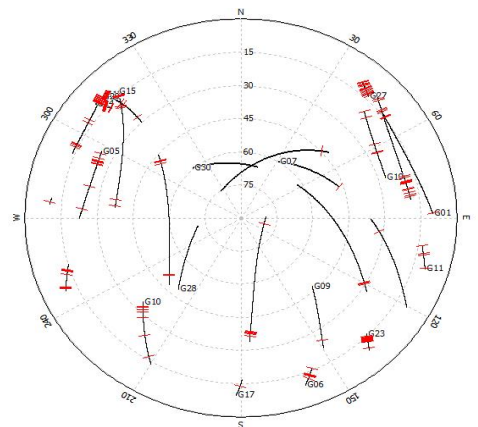
² Flux gate compass

³ Cut off angle

معیارهای DOP^۲ می‌تواند مورد بررسی قرار گیرد. در شکل‌های (۶و۵) صورت فلکی حاصل از ماهواره‌های ردیابی شده به همراه جهش‌های فاز که از طریق ترکیب فاز دو فرکانسه شناسایی شده‌اند، برای دو گیرنده‌ی متوجه مشاهده می‌شوند [۸].



شکل ۵ : صورت فلکی گیرنده عقب به همراه نمایش جهش‌های فاز (خطوط قرمز رنگ)

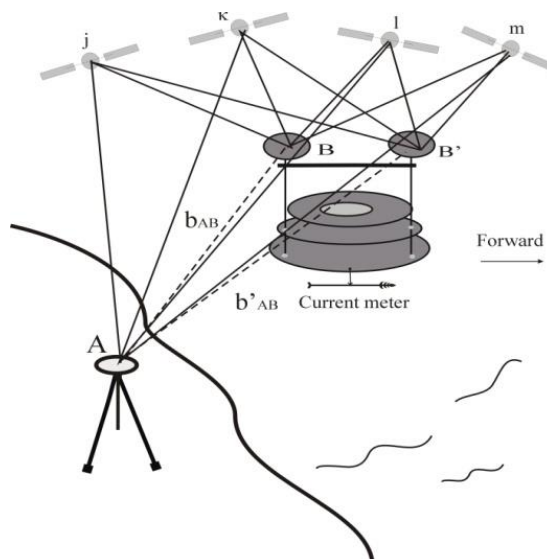


شکل ۶ : صورت فلکی گیرنده جلو به همراه نمایش جهش‌های فاز (خطوط قرمز رنگ)

تقریباً ۱/۵ ساعت برداشت کردند. مطابق شکل (۳) گیرنده‌ی نصب شده در جلوی مسیر حرکت، به عنوان گیرنده‌ی جلو و گیرنده‌ی دیگر به عنوان گیرنده‌ی عقب در نظر گرفته شده است.

۳- پردازش داده‌های GNSS

برای پردازش داده‌ها نرم افزار Berniz^۱ مورد استفاده قرار گرفت [۷]؛ بدین صورت که ابتدا موقعیت ایستگاه مرجع به روش تعیین موقعیت نقطه‌ای با مشاهدات فاز حامل مشخص و سپس موقعیت دو گیرنده‌ی دیگر به روش کینماتیک نسبی و با استفاده از معادلات تفاضلی دوگانه‌ی مشاهدات فاز حامل، نسبت به ایستگاه مرجع تعیین شدند. (شکل (۴))



شکل ۴ : اساس تعیین موقعیت کینماتیک نسبی برای بویه شناور بر روی آب (که به عنوان ایستگاه مرجع و B و B' به عنوان ایستگاه‌های متوجه می‌باشند که هدف در تعیین موقعیت کینماتیک نسبی تعیین دو بُردار خط مبنا b'AB و bAB می‌باشد).

برای بررسی دقیق و صحیح حاصل از موقعیت یابی نقاط، تعداد ماهواره‌های ردیابی شده برای حل موقعیت و

² Dilution of precision

³ Sky plot

¹ Bernese 5.0 software

به طور صحیح حل شده و در تمام زمان ثابت باشند [۸].

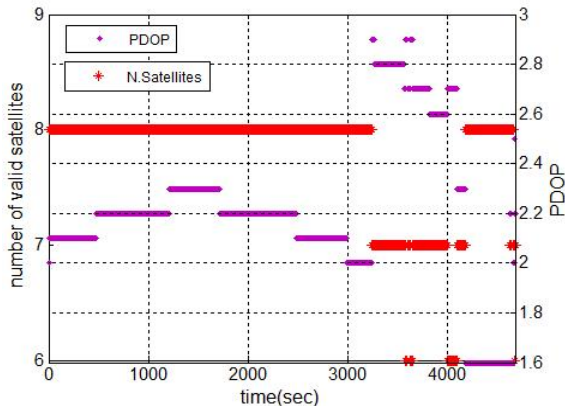
به محض آن که مقدار ابهام به صورت عدد صحیح معلوم شود گفته می‌شود که ابهام رفع شده یا و تثبیت گردیده است. به طور کلی تعیین و تثبیت ابهام، حل خط مبنا را استحکام می‌بخشد [۱۱].

استفاده از تفاصل‌های دوگانه به جای تفاصل‌های یگانه، برای پردازش فاز حامل مهم می‌باشد. دلیل آن این است که در مورد تفاصل‌های یگانه، یک پارامتر مجهول اضافه برای دریفت ساعت گیرنده، که مانع جداسازی مؤثر ابهام‌های فاز از دریفت ساعت می‌گردد، باید در نظر گرفته شود. در مورد تفاصل‌های دوگانه، که جملات ساعت حذف شده‌اند، مجزا کردن ابهام‌ها امکان‌پذیر است [۸].

جنبه‌ی دیگر رفع ابهام، هندسه‌ی ماهواره می‌باشد که می‌توان از دو منظر به آن نگاه کرد. منظر اول، افزایش شمار ماهواره‌های مورد ریدیابی در هر لحظه، عموماً به مقدار DOP بهتری منتج می‌شود. از این رو استفاده از تمام گیرنده‌های در معرض دید با توانایی ریدیابی تمام ماهواره‌های قابل رؤیت ترجیح داده می‌شود، زیرا ماهواره‌های اضافی به کارآبی و قابلیت اطمینان رفع ابهام کمک می‌کنند. منظر دوم در مورد هندسه، طول زمان مورد نیاز برای رفع ابهام‌ها می‌باشد. محتوای اطلاعات فاز حامل تابعی از زمان است که مستقیماً با حرکت ماهواره همبسته است [۸].

خطای چندگانگی مسیر نیز عامل حساس و مهمی در رفع ابهام است. از آنجا که خطای چندگانگی مسیر وابسته به ایستگاه است، حتی برای خطوط مبنای کوتاه می‌تواند قابل ملاحظه باشد.

رفع ابهام شامل سه گام اصلی است: تعریف فضای جستجو ابهام، انتخاب ابهام‌های داوطلب و تعیین اعتبار ابهام‌ها. در بین روش‌های تعیین ابهام،



شکل ۷ : تعداد ماهواره‌های قابل قبول برای حل موقعیت به همراه PDOP

۱-۳- خطای چندگانگی مسیر^۱

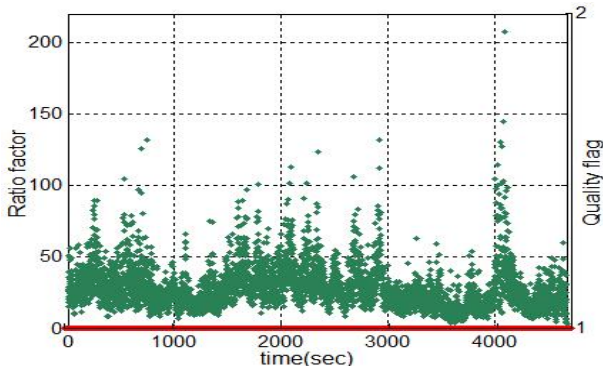
یکی از تاثیرگذارترین خطاهای مشاهدات GNSS برای اهداف تعیین پارامترهای دوران به خصوص در محیط‌های آبی، خطای چندگانگی مسیر می‌باشد [۹۰]. با انتخاب فازهای حامل و فاقد خطای یونسفر و تشکیل تفاصل‌های متناظر آن‌ها، تمام اثرات همچون خطاهای تروپوسفر، خطاهای ساعت و اثرات نسبیتی، به استثناء چندگانگی مسیر حذف می‌شوند [۸]. اثر خطای چندگانگی مسیر بر روی فازهای حامل در این تحقیق مطابق نمودار شکل‌های (۱۰ و ۱۱) برآورد شده است که با توجه به نتایج آن می‌توان متوجه شد که خوشبختانه شرایط به گونه‌ای بوده است که خطای چندگانگی مسیر تأثیر زیادی را بر دقت نهایی نتایج نداشته است.

۲- حل ابهام فاز

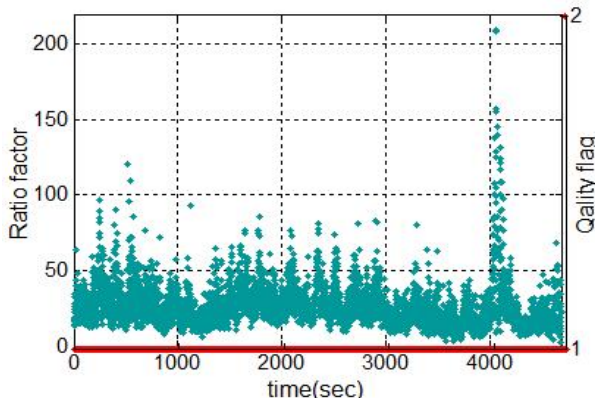
برای رسیدن به حداقل دقت ممکن برای تعیین پارامترهای دوران، حل صحیح ابهام فاز برای اندازه‌گیری‌های فاز حامل می‌باشد. اندازه‌گیری‌های فاز حامل می‌توانند دقیق در حد میلی متر را داشته باشند به شرطی که ابهام

¹ Multipath Error

بیان شده است، انتخاب این حد آستانه بستگی به تعداد مشاهدات در دسترس و انتخاب یک نرخ شکست دارد. در این مقاله حد آستانه‌ای ثابت با مقدار ۳ مطابق با [۱۶] انتخاب شد. در نمودار شکل‌های (۸ و ۹) میزان آزمون نسبت به همراه نقاط با ابهام حل شده (fixed=1) و حل نشده (float=2) برای دو گیرنده‌ی نصب شده روی بویه، آورده شده است.



شکل ۸: مقدار آزمون نسبت (نقاط سبز) و نقاط با وضعیت حل ابهام (نقاط قرمز) در کل اپک‌های زمانی برای گیرنده عقب.



شکل ۹: مقدار آزمون نسبت (نقاط آبی) و نقاط با وضعیت حل ابهام (نقاط قرمز) در کل اپک‌های زمانی برای گیرنده جلو.

روش LAMBDA^۱ از لحاظ تئوری و عملی در صدر قرار دارد و روش معمول مورد استفاده در اکثر نرم‌افزارهای پرداز داده‌های GNSS می‌باشد. در این روش هدف اصلی، به دست آوردن ابهام‌های عدد صحیحی است که محتمل‌ترین اندازه باشند [۸، ۱۳ و ۱۴]. با نشان دادن بردار ابهام‌های شناور تعديل شده با \hat{N} و بردارهای ابهام عدد صحیح متناظر با آن‌ها با N ، تفاصل بین دو بردار را می‌توان به عنوان باقیمانده‌های ابهام در نظر گرفت. در نتیجه مینیمم کردن این باقیمانده‌ها، با اصول مینیمم کردن مجموع وزن‌دار باقیمانده‌ها، صورت می‌پذیرد. با اقتباس از [۱۲] می‌توان نوشت:

رابطه (۱)

$$\chi^2(N) = (\hat{N} - N)^T Q_{\hat{N}}^{-1} (\hat{N} - N) = \text{minimum}$$

که در آن $Q_{\hat{N}}$ کوواریانس ابهام‌های شناور تعديل شده است. حل این مسئله تحت عنوان برآورد کمترین مربعات عدد صحیح ابهام‌ها نامیده می‌شود.

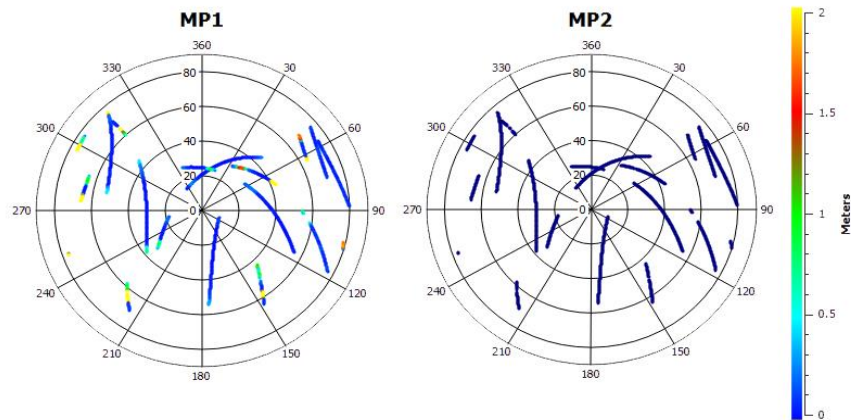
حال برای اعتبارسنجی ابهام‌های تعیین شده می‌بایست روشی را به کار بست که میزان موفقیت ابهام را تعیین کند. یکی از تست‌هایی که در این زمینه به کار گرفته می‌شود تحت عنوان آزمون نسبت χ^2 نامبرده می‌شود [۱۲ و ۱۳]. فاکتور نسبت R عبارتست از: نسبت مجموع وزن‌دار مجدد باقیمانده‌ها با دومین جواب بهینه (N) $\chi^2(N)$ به اولین جواب بهینه $\chi^2(N)$.

$$R = \frac{(\hat{N}_2 - N)^T Q_{\hat{N}}^{-1} (\hat{N}_2 - N)}{(\hat{N} - N)^T Q_{\hat{N}}^{-1} (\hat{N} - N)} > R_{thres} \quad \text{رابطه (۲)}$$

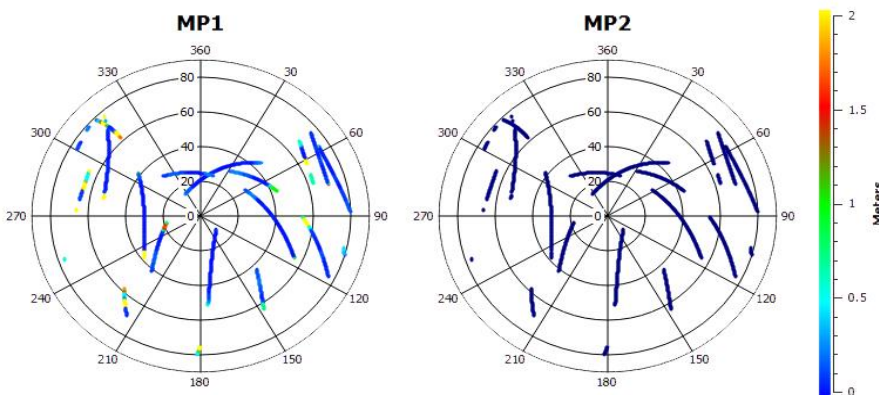
در این رابطه R_{thres} حد آستانه‌ای برای این نسبت می‌باشد که مطابق آنچه در [۱۳] نشان داده شده است، از لحاظ تئوری اساسی برای تعیین این حد آستانه وجود ندارد اما در [۱۵] دیدگاهی مختلف

¹ Least-squares AMBiguity Decorrelation Adjustment

² Ratio test



شکل ۱۰: صورت فلکی گیرنده عقب به همراه خطای چندگانگی مسیر برآورد شده از هر ماهواره برای فرکانس‌های L1 و L2



شکل ۱۱: صورت فلکی گیرنده جلو به همراه خطای چندگانگی مسیر برآورد شده از هر ماهواره برای فرکانس‌های L1 و L2

کامل می‌کند) است. پارامترهای دوران می‌توانند از طریق ماتریس دورانی استخراج شوند. همچنین، سیستم مختصات و ماتریس دوران می‌توانند به عنوان دو المان اساسی در تعریف و تعیین وضعیت یک سکوی متحرک بیان شوند [۱۸ و ۱۹].

۴- سیستم مختصات تراز محلی و جسم مرجع
 سیستم مختصات تراز محلی (LL) به عنوان یک سیستم مختصات مرجع به منظور اندازه‌گیری پارامترهای دوران یک سکوی متحرک مورد استفاده قرار می‌گیرد. مبدأ این سیستم مختصات بوسیله‌ی مرکز فاز آنتن اصلی در یک GNSS تعریف می‌شود. محور U عمود به بیضوی مرجع و به سمت خارج، محور N به سمت شمال ژئودتیک و محور E

۴- تعیین پارامترهای دوران بوسیله‌ی آنتن‌های GNSS

دوران یک سکوی متحرک عبارتست از توجیه سیستم جسم مرجع^۱ آن نسبت به یک سیستم مرجع محلی^۲ که آن نیز مرتبط با یک سیستم مرجع جهانی (سیستم مختصات زمینی قراردادی (CT^۳) که یک سیستم زمین چسب است که با زمین دوران می‌کند، محور Z^{CT} آن همان محور چرخش زمین، صفحه‌ی XZ^{CT} شامل متوسط نصف النهار و محور Y^{CT} یک سیستم دست راستی را

¹ Body frame

² Local reference

³ Conventional Terrestrial System

رابطه (۶)

$$r^{LL} = \begin{bmatrix} -\sin\lambda & \cos\lambda & 0 \\ -\cos\lambda\sin\varphi & -\sin\lambda\sin\varphi & \cos\varphi \\ \cos\lambda\cos\varphi & \sin\lambda\cos\varphi & \sin\varphi \end{bmatrix} \cdot (r^{CT} - r^{CT_0})$$

می‌توان معادله (۶) را نیز بدین صورت نوشت:

$$r^{LL} = R_{CT}^{LL} \cdot (r^{CT} - r^{CT_0}) = R_{CT}^{LL} \cdot \Delta r^{CT} \quad (7)$$

در نتیجه خواهیم داشت:

رابطه (8)

$$R_{CT}^{LL} = \begin{bmatrix} -\sin\lambda & \cos\lambda & 0 \\ -\cos\lambda\sin\varphi & -\sin\lambda\sin\varphi & \cos\varphi \\ \cos\lambda\cos\varphi & \sin\lambda\cos\varphi & \sin\varphi \end{bmatrix}$$

بوسیله‌ی یک سیستم با دو یا چند آنتن GNSS دوران مختصات جسم مرجع آنتن‌های GNSS نسبت به یک سیستم مختصات تراز محلی به طور دقیق در هر اپلک مشاهداتی قابل محاسبه می‌باشد.

برای توصیف ارتباط میان سیستم مختصات جسم مرجع و تراز محلی، پارامترهای دوران سکویی منحرک در نظر گرفته می‌شود. یک بردار خط مبنای r از سیستم مختصات تراز محلی به سیستم مختصات جسم مرجع از طریق فرمول‌های جبر مقدماتی، انتقال پیدا می‌کند. از آنجاییکه سیستم مختصات تراز محلی و جسم مرجع در مبدأ و مقیاسی همانند سهیم می‌باشند، ارتباط میان آنها برابر است با:

$$r^{BF} = R_{LL}^{BF} \cdot r^{LL} \quad (9)$$

که r^{BF} بردار خط مبنای بیان شده در سیستم جسم مرجع، R_{LL}^{BF} ماتریس دوران برای انتقال بردار خط مبنای r^{LL} از سیستم مختصات LL به سیستم Mختصات BF و R_{LL}^{BF} ماتریس دوران تحت عنوان زوایای اویلر (هیدینگ، پیج و رول) توصیف می‌شود. روش معمول برای انتقال

یک سیستم دست راستی را با امتدا به شرق تکمیل می‌کند [۸ و ۱۷].

بردار خط مبنای از یک آنتن اصلی به یک آنتن ثانویه بوسیله‌ی GNSS در سیستم WGS84 تعیین می‌شود. برای استفاده از این خط مبنای به منظور تعیین پارامترهای دوران، لازم است که به سیستم تراز محلی انتقال داده شود. مبدا سیستم تراز محلی در جایی است که آنتن اصلی قرار دارد که موقعیت آن (φ, λ, h) معمولاً بوسیله‌ی اندازه‌گیری‌های شبه فاصله یا فاز حامل در مدد تعیین موقعیت نقطه‌ای تعیین می‌شود. انتقال یک بردار خط مبنای r از یک سیستم مختصات LL به یک CT از طریق روابط زیر صورت می‌پذیرد:

$$r^{CT} = R_{LL}^{CT} \cdot r^{LL} + r^{CT_0} \quad (3)$$

که r^{CT} بیانگر بردار خط مبنای در سیستم مختصات CT، R_{LL}^{CT} ماتریس دوران برای انتقال بردار خط مبنای از LL به CT، r^{LL} بیانگر بردار خط مبنای در سیستم مختصات LL و r^{CT_0} مبدا سیستم مختصات LL که صفر نشان‌دهنده‌ی این است که در سیستم مختصات CT قرار دارد. ماتریس دوران R_{LL}^{CT} برابر است با:

$$R_{LL}^{CT} = R_3 \left(-\lambda - \frac{\pi}{2} \right) \cdot R_1 \left(\varphi - \frac{\pi}{2} \right) \quad (4)$$

که R_1 ماتریس دوران حول محور X و R_3 ماتریس دوران حول محور Z می‌باشند. از بسط معادله‌ی بالا خواهیم داشت:

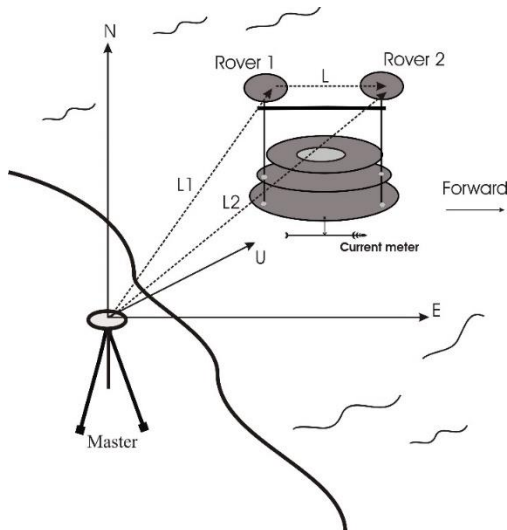
رابطه (5)

$$R_{LL}^{CT} = \begin{bmatrix} -\sin\lambda & -\cos\lambda\sin\varphi & \cos\lambda\cos\varphi \\ \cos\lambda & -\sin\lambda\sin\varphi & \sin\lambda\cos\varphi \\ 0 & \cos\varphi & \sin\varphi \end{bmatrix}$$

همچنین ماتریس دوران برای انتقال یک بردار خط مبنای r از سیستم CT به سیستم LL بوسیله‌ی ترانهاده کردن ماتریس R_{LL}^{CT} می‌تواند انجام شود.

که ψ و θ و ϕ به ترتیب زاویه هدینگ، پیچ و رول جسم متحرک می‌باشند. با استفاده خاصیت ارتوگونالی ماتریس دوران $R_{312}(\psi, \theta, \phi)$ که در معادله‌ی (۱۰) نشان داده شده، معادله زیر برای محاسبه‌ی زوایای هدینگ مورد استفاده قرار می‌گیرد:

$$\psi = \arctan \frac{\Delta E}{\Delta N} \quad (15)$$



شکل ۱۲: اساس سیستم مختصات تراز محلی

که ΔE ، ΔN و ΔU به ترتیب سه مولفه‌ی بردار خط مانا میان دو آنتن GNSS در شمال، شرق و قائم در سیستم مختصات تراز محلی می‌باشند. بازه‌ی زاویه‌ی هدینگ از 0° تا 360° درجه تغییر می‌کند [۱۷و۱۸].

۴-۲-۴- دقت پارامترهای دوران

دقت زوایای هدینگ که از طریق معادلات به صورت مستقیم محاسبه شد، بر اساس قانون انتشار خطاهای و با دیفرانسیل گیری از معادلات آنها، مطابق روابط زیر قابل محاسبه می‌باشد.

با توجه به اینکه: $(\Delta E, \Delta N, \Delta U) = (e_2, n_2, u_2)$ و (e_1, n_1, u_1) خطای موقعیت نقاط می‌باشند، خطای در مولفه‌ی هدینگ که بوسیله‌ی دیفرانسیل گیری از معادله‌ی (۱۵) بدست آمده به صورت زیر بیان می‌شود:

از سیستم مختصات تراز محلی به سیستم مختصات جسم مرجع ابتدا با یک دوران حول محور x^{BF} با زاویه‌ی هدینگ (yaw)، سپس حول محور y^{BF} با زاویه پیچ و در نهایت حول محور z^{BF} با زاویه رول، مطابق با معادلات زیر صورت می‌گیرد:

$$\text{رابطه } (10)$$

$$R_{LL}^{BF} = R_2(\phi)R_1(\theta)R_3(\psi) = R_{312}(\psi, \theta, \phi)$$

$$R_2(\phi) = \begin{bmatrix} \cos\phi & 0 & \sin\phi \\ 0 & 1 & 0 \\ -\sin\phi & 0 & \cos\phi \end{bmatrix} \quad \text{رابطه } (11)$$

$$R_1(\theta) = \begin{bmatrix} 1 & 0 & 0 \\ 0 & \cos\theta & -\sin\theta \\ 0 & \sin\theta & \cos\theta \end{bmatrix} \quad \text{رابطه } (12)$$

$$R_3(\psi) = \begin{bmatrix} \cos\psi & -\sin\psi & 0 \\ \sin\psi & \cos\psi & 0 \\ 0 & 0 & 1 \end{bmatrix} \quad \text{رابطه } (13)$$

در یک سیستم با چند آنتن GNSS مختصات نقاط بوسیله‌ی تعیین موقعیت نسبی برای هر اپک در سیستم مختصات تراز محلی با مبدا در نظر گرفتن یکی از آنتن‌ها (آنتن اصلی) تعیین می‌شود. از طرف دیگر مختصات جسم مرتع آنتن‌ها نیز می‌تواند به طور دقیق محاسبه شود و فرض می‌شود در طول حرکت نیز مختصات آنها ثابت می‌باشد [۱۷و۱۸]. اما در این قسمت روشی شرح داده می‌شود که پارامترهای دوران مستقیماً با استفاده از مختصات تراز محلی آنتن‌ها و بدون نیاز به مختصات جسم مرتع آنتن‌ها محاسبه می‌شود. همانطور که در شکل (۱۲) نشان داده شده است، ایستگاه ثابت به عنوان آنتن اصلی و در واقع مبدا سیستم مختصات تراز محلی می‌باشد و دو خط مبنای L_1 و L_2 در سیستم تراز محلی تعیین می‌شوند. برآیند این دو بردار یعنی بردار L ، برداری است در سیستم مختصات جسم مرتع که نسبت به آنتن اصلی در سیستم مختصات تراز محلی با ماتریس دوران زیر، دوران می‌کند:

$$L^{BF} = R_{312}(\psi, \theta, \phi). L^{LL} \quad \text{رابطه } (14)$$

$$\sigma_\psi = \sqrt{\left(\frac{\Delta N}{\Delta E^2 + \Delta N^2}\right)^2 (\sigma_{e1}^2 + \sigma_{e2}^2) + \left(\frac{\Delta E}{\Delta E^2 + \Delta N^2}\right)^2 (\sigma_{n1}^2 + \sigma_{n2}^2)} \quad (16)$$

که در این رابطه θ زاویه پیج بویه بوده و به صورت $\theta = \arctan \frac{\Delta U}{\sqrt{\Delta E^2 + \Delta N^2}}$ تعریف می‌شود. با صرفنظر کردن از همبستگی میان مولفه‌های مختصات، انحراف معیار پارامتر هدینگ برابر است با:

حال با توجه به داشتن یک خط میان دو آنتن GNSS با طول L ، مختصات تراز محلی آن به صورت زیر نوشته می‌شود:

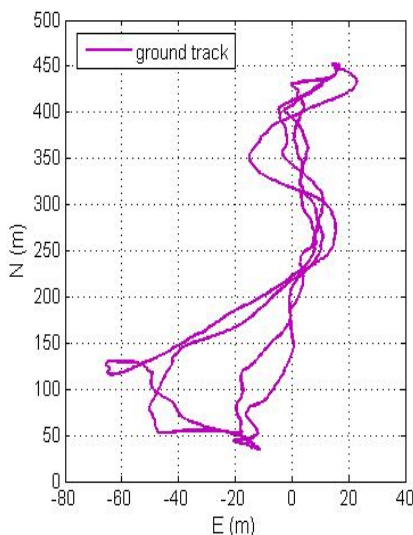
$$\begin{bmatrix} \Delta E \\ \Delta N \\ \Delta U \end{bmatrix} = \begin{bmatrix} L \cos \theta \sin \psi \\ L \cos \theta \cos \psi \\ L \sin \theta \end{bmatrix} \quad (17)$$

رابطه (18)

$$\sigma_\psi = \sqrt{\left(\frac{L \cos \theta \cos \psi}{L^2 \cos^2 \theta \sin^2 \psi + L^2 \cos^2 \theta \cos^2 \psi}\right)^2 (\sigma_{e1}^2 + \sigma_{e2}^2) + \left(\frac{L \cos \theta \sin \psi}{L^2 \cos^2 \theta \sin^2 \psi + L^2 \cos^2 \theta \cos^2 \psi}\right)^2 (\sigma_{n1}^2 + \sigma_{n2}^2)} \quad (19)$$

$$\sigma_\psi = \frac{\sqrt{\cos^2 \theta (\sigma_{e1}^2 + \sigma_{e2}^2) + \sin^2 \psi (\sigma_{n1}^2 + \sigma_{n2}^2)}}{L \cos \theta} \quad (19)$$

بر روی بویه و میزان محاسبه شده‌ی آن از طریق داده‌های موقعیت می‌باشد.

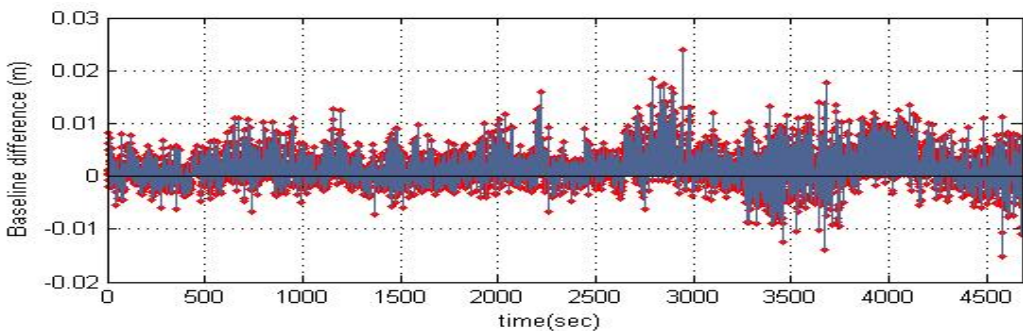


شکل ۱۳: مسیر طی شده بویه بر روی آب

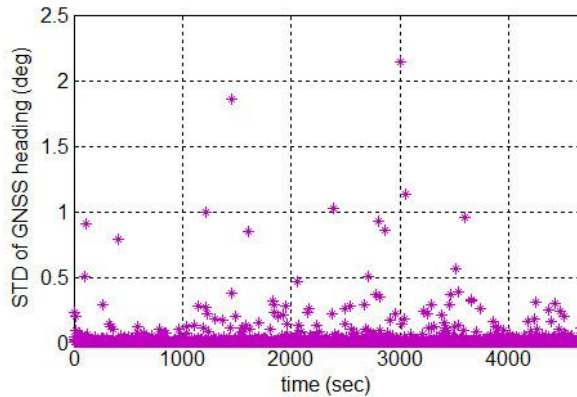
همانطور که واضح است، زمانی که دقت تعیین موقعیت σ_{max} ثابت باشد، دقت تعیین زوایای هدینگ با نسب معکوس خط میان L رابطه‌ی مستقیم دارد. هندسه‌ی ماهواره‌های ردیابی شده و نحوه‌ی پیکربندی آنتن‌های GNSS در مسائل مربوط به تعیین پارامترهای دوران یک سکوی متحرک بر روی دقت حاصل شده تاثیر زیادی دارد [۱۸ و ۱۹].

۵- نتایج عددی

با استفاده از داده‌های موقعیت مکانی بویه بر روی آب که طی مدت زمانی مشخص و در مسیرهای رفت و برگشتی بر روی آب دریاچه کشیده شد، هدینگ بویه با دقت مناسبی محاسبه شد. در شکل (۱۳) مسیر طی شده‌ی بویه بر روی آب مشاهده می‌شود همچنین نمودار شکل (۱۴) نشان‌دهنده‌ی اختلاف طول خط واصل میان دو آنتن نصب شده



شکل ۱۴: خطای خط مبنا L (متر)



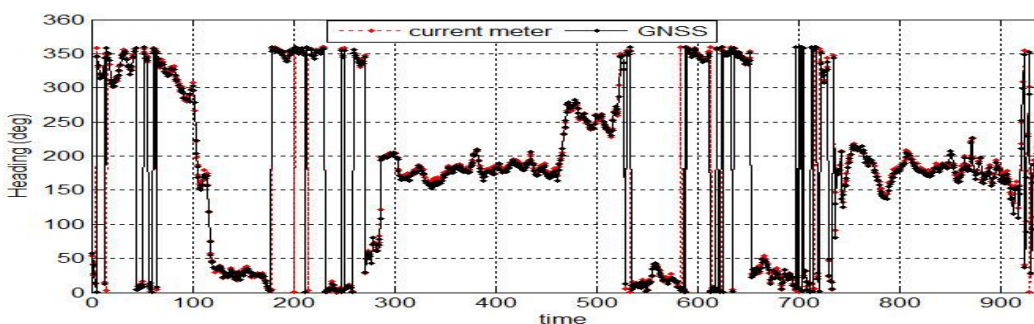
شکل ۱۵: انحراف معیار زاویه هدینگ بویه در کل زمان برداشت داده

جدول ۱: پارامترهای محاسباتی بویه

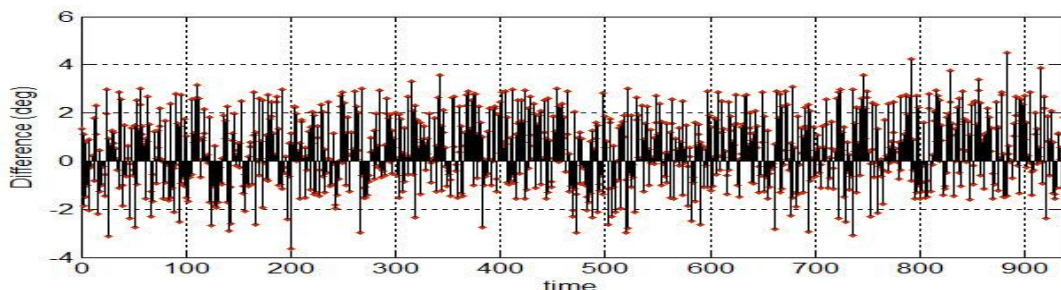
پارامتر	محاسباتی
مقدار	
۰/۰۰۱۸	مترا
۰/۰۰۳۳	خطای خط مبنا (L)
۰ تا ۳۶۰ درجه	RMSE
۴۸/۲۷۶۰ ثانیه	رنج زاویه هدینگ اندازه‌گیری شده
	انحراف معیار مولفه هدینگ

مورد استفاده قرار گرفت. همچنین با توجه به جدایی شمال مغناطیسی و شمال ژئودتیک، تصحیح انحراف مغناطیسی با در نظر گرفتن موقعیت مکانی محدوده‌ی آزمایش از طریق [۲۰] محاسبه و به داده‌های مورد نظر اعمال شد. نمودار شکل (۱۶) هدینگ حاصل از محاسبات داده‌های GNSS و هدینگ ثبت شده‌ی جریان سنج را در زمان انجام آزمایش و با فاصله‌ی نمونه‌برداری پنج ثانیه نشان می‌دهد و اختلاف میان دو هدینگ در شکل (۱۷) به نمایش در آمده است.

برای مقایسه دقیق هدینگ حاصل از دو سیستم GNSS و جریان سنج، قبل از شروع آزمایش هر دو سیستم همزمان شدند. عملکرد جریان سنج مورد استفاده بدین صورت است که با قرارگیری در مقابل جریان آب، در کمینه‌ی نرخ نمونه‌برداری خود یعنی پنج ثانیه، متوسط سرعت جریان آب را در این زمان به عنوان پارامتر سرعت و در ثانیه پنجم جهت جریان آب را بوسیله‌ی قطب‌نمای خود نسبت به شمال مغناطیسی ثبت می‌کند و برای مقایسه‌ی هدینگ حاصل از GNSS با هدینگ حاصل از جریان سنج نیز هدینگ بویه در هر پنج ثانیه یکبار



شکل ۱۶: زاویه هدینگ بویه و جریان سنج



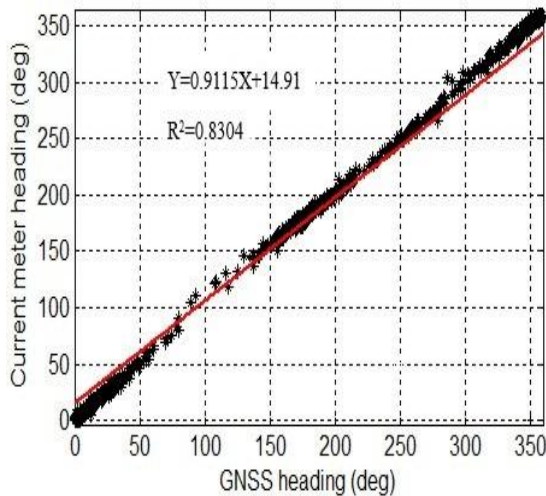
شکل ۱۷: اختلاف میان هدینگ حاصل از GNSS و هدینگ جریان سنج (درجه)

تحت تاثیر قرار گیرد، اختلاف محسوسی نبوده و می‌توان با توجه به معادله‌ی کالیبراسیون، هدینگ جریان سنج را اصلاح کرد. در نمودار شکل (۱۸) با مرچع قرار دادن هدینگ حاصل از GNSS و مقایسه‌ی آن با هدینگ جریان سنج، خط مستقیمی به داده‌ها فیت و معادله خطی مطابق آن آورده شده است.

در جدول (۲) پارامترهای آماری مربوط به مقایسه‌ی هدینگ حاصل از GNSS و هدینگ جریان سنج آورده شده است. مشاهده می‌شود که متوسط اختلاف میان هدینگ دو سیستم $26^{\circ} 46'$ می‌باشد و با توجه به این مورد که ساختار سنسور جهت‌یابی جریان سنج دریایی می‌تواند طی عوامل محیطی

جدول ۲: مقایسه‌ی هدینگ جریان سنج با هدینگ GNSS

مقادیر	پارامتر محاسباتی
$26^{\circ} 46'$	متوسط اختلاف
$4^{\circ} 28' 35''$	ماکزیمم اختلاف
$6''$	مینیمم اختلاف
$1^{\circ} 29' 2''$	انحراف معیار
$1^{\circ} 32' 56''$	جذر خطای مربعی متوسط



شکل ۱۸: مقایسه‌ی هدینگ جریان سنج با هدینگ بویه

به امکانات موجود ساخته شد که می‌توان شناوری بهتر و اصولی‌تری را طراحی و ساخت و همچنین شرایط آزمایش را به گونه‌ای پیشبرد که در مدل‌ها و شرایط مختلفی آزمایش را تکرار کرد تا به بهترین شیوه برای کالیبراسیون جریان سنج‌ها بوسیله‌ی GNSS برای رسید. در این مقاله از گیرنده‌های GNSS برای بررسی قطب‌نمای جریان سنج استفاده شد که می‌توان با داشتن سنسورهای جهت‌یاب دیگری و مرتبط کردن آنها باهم، نتایج دقیق‌تری نیز کسب کرد. روش مورد نظر می‌تواند سنسور سرعت‌سنجی دستگاه جریان سنج را به طور دقیق مورد بررسی قرار دهد و بدین گونه دو پارامتر سرعت و هدینگ حاصل از جریان سنج در یک شرایط واقعی مورد ارزیابی قرار گیرد. نتایج آزمایش مذکور نشان‌دهنده‌ی موفقیت‌آمیز بودن این روش برای بررسی و کالیبراسیون جریان سنج‌های دریایی از نوع پروانه‌ای می‌باشد که پیشتر در آزمایشگاه‌های کالیبراسیون به شیوه‌ی رایج بررسی و معادله‌ی کالیبراسیون برای آنها ارائه می‌شد.

تشکر و قدردانی

بدینوسیله از سازمان نقشه‌برداری کشور به جهت فراهم آوردن امکانات این تحقیق تشکر و

۶- نتیجه‌گیری و پیشنهادات

در این مقاله کنترل میدانی قطب‌نمای یک جریان سنج دریایی با استفاده از گیرنده‌های GNSS مورد بررسی قرار گرفت. زاویه هدینگ بویه به عنوان مرجعی برای بررسی هدینگ حاصل از جریان سنج، بوسیله‌ی دو گیرنده‌ی GNSS نصب شده بر روی آن و به روش کینماتیک نسبی محاسبه شد. زاویه هدینگ بویه از طریق روش مستقیم و بدون نیاز به مختصات جسم مرجع آنتن‌ها و با داشتن مختصات آنتن‌ها در سیستم مختصات تراز محلی با دقت مناسبی محاسبه و بعد از اعمال تصحیحات (انحراف مغناطیسی) با هدینگ ثبت شده‌ی قطب‌نمای مغناطیسی جریان سنج دریایی مقایسه شد. میزان اختلافات مشاهده شده میان دو هدینگ بیانگر آنست که قطب‌نمای جریان سنج دارای اشکال نبوده و سالم می‌باشد. در این مقاله روشی ابتکاری برای بررسی میدانی قطب‌نمای جریان سنج دریایی ارائه شد که می‌توان از این روش برای کالیبراسیون جریان سنج‌های دیگر و همچنین سنسورهایی که برای تعیین هدینگ در محیط‌های دریایی مورد استفاده قرار می‌گیرند استفاده کرد. برای مرتبط کردن جریان سنج با سیستم GNSS در این مقاله شناور ساده‌ای با توجه

عزیزانی که در عملیات‌های میدانی و پردازش‌ها
یاری کردند، صمیمانه سپاسگزاری می‌کنم.

قدرتانی می‌کنم. همچنین از جناب دکتر علی سلطانپور
مدیر آبنگاری، آقای محمد رضا بیات کارشناس بخش
آبنگاری سازمان نقشه‌برداری و تمامی دوستان و

مراجع

- [1] Gwyn Griffiths, "Using 3Df GPS heading for improving underway ADCP data." American meteorological society, Vol.11, 1135-1143, 1994.
- [2] Raymond pollard, Jane read, "A method for calibrating shipmounted acoustic Doppler profilers and the limitation of gyro compasses" Journal of atmospheric and ocean technology, Vol. 6, NO. 6, 1989.
- [3] SIMÓN RUIZ, JORDI FONT, GWYN GRIFFITHS, ARTURO CASTELLÓN, "Estimation of heading gyrocompass error using a GPS 3DF system: Impact on ADCP measurements", SCI. MAR., 66 (4): 347-354, 2002.
- [4] CLIFFORD L. TRUMP, GEORGE O. MARMORINO, "Calibrating a Gyrocompass Using ADCP and DGPS Data.", JOURNAL OF ATMOSPHERIC AND OCEANIC TECHNOLOGY VOLUME 14, 1997.
- [5] Patrick Henkel, philipp berthold, jane jean kiam, "Calibration of magnetic field sensors with tow mass-market GNSS receivers." IEEE WPNC, 2014.
- [6] J. Crassidis, K. L. Lai and R. Haman, "Real-time attitude-independent three axis magnetometer calibration." J. of Guidance, Control, and Dynamics, Vol. 28. NO. 1, pp. 115-120, 2005.
- [7] Rolf Dach, Urs Hugentobler, Pierre Fridez, Michael Meindl, "User manual of the Bernese GPS Software Version 5.0", Astronomical Institute, University of Bern, 2007.
- [8] Hofman-Wellenhof, Lichtenegger, Wasle, GNSS-global navigation satellite systems: GPS, GLONASS, Galileo and more,
- [9] K. Yedukondalu, A. D. Sarma, and V. Satya Srinivas, "ESTIMATION AND MITIGATION OF GPS MULTIPATH INTERFERENCE USING ADAPTIVE FILTERING", Progress In Electromagnetics Research M, Vol. 21, 133, 2011
- [10] J.K. Ray. M.E. Cannon, "Characterization of GPS Carrier Phase Multipath" Presented at ION NTM-99, San Diego, January 25-27, 1999
- [11] Gabriele Giorgi and Peter J. G. Teunissen, "GNSS Carrier Phase-Based Attitude Determination", Recent Advances in Aircraft Technology, 2012.
- [12] P. J. Buis, "GNSS Kinematic Relative Positioning for Spacecraft: Data Analysis of a Dynamic Testbed." Delft University of Technology, the Netherlands, 2008.
- [13] Teunissen, P.J.G., Verhagen, S, "On the Foundation of the Popular Ratio Test for GNSS Ambiguity Resolution" ION GNSS2004, Long Beach, CA, US, 2004.
- [14] Gabriele Giorgi, Peter J. G. Teunissen, "Carrier Phase GNSS Attitude Determination with the Multivariate Constrained LAMBDA Method", IEEEAC Paper, 2010.
- [15] Teunissen, P.J.G.: Verhagen, S, "On GNSS Ambiguity Acceptance Tests", International Global Navigation Satellite Systems Symposium, The University of New South, 2007.
- [16] Wei, M.: Schwarz, K.P, "Fast Ambiguity Resolution using an Integer Nonlinear Programming Method" ION GPS1995, Palm Springs CA, US, 1995.

- [17] Gang Lu, "Development of a GPS Multi-Antenn System for Attitude Determination" PhD Thesis, DEPARTMENT OF GEOMATICS ENGINEERING CALGARY, ALBERT, 1995.
- [18] JiunHan Keong, "Determining Heading and Pitch Using a Single Difference GPS/GLONASS approach" master of science Thesis. CALGARY, ALBERTA,
- 1999.
- [19] M.vinnins, L.D. Gllop, "GPS heading determination using short antenna baselines", Defense research establishment Ottawa, technical note 98-001, 1997.
- [20] <http://www.ngdc.noaa.gov/geomag-web/>

..



Marine current meter compass calibration Using relative kinematic positioning

Vahid Rezaali¹, Alireza Azmoodi Ardalan², Naser Abdi³

1- M.Sc student of hydrography in School of Surveying and Geospatial Eng., Faculty of Engineering, University of Tehran

2- Professor in School of Surveying and Geospatial Eng., Faculty of Engineering, University of Tehran

3- PhD student of geodesy in School of Surveying and Geospatial Eng., Faculty of Engineering, University of Tehran

Abstract

Highly accurate parameters for velocity and direction of marine current are of utmost importance in marine studies. To achieve this, accurate and calibrated current meters should be used. The direction parameters or “heading” resulted from marine current meter is measured by the aid of a compass mounted on the device. This, as well as the velocity parameter should be properly evaluated and margin of error calculated. In this paper GNSS receivers have been utilized to calibrate the compass on a marine current meter. In this method, two GNSS receivers have been installed on a buoy and then connected to a current meter. The buoy then has been pulled on a lake in a specified direction. In this method two GNSS receivers mounted on buoy using carrier phase observations have been positioned relative to a reference station and by defining a local level coordinate with the reference station as the origin, from rotation the baseline created between the two receivers to this station, heading angle has been calculated. To verify the accuracy of the calculated heading angle, criterion such as satellite geometry, solving phase ambiguity and multipath error in kinematic positioning is evaluated. Heading angles of the buoy was determined with a standard deviation $48.2760''$ and were compared with the headings of current meter that mean difference between heading from compass current meter and GNSS heading $26'46''$ is determined and calibration equation is presented for current meter compass.

Key words: heading angle, GNSS, relative kinematic, marine current meter, current meter calibration